



LLUVIAS



**CENEPRED**  
Centro Nacional de Estimación, Prevención y  
Reducción del Riesgo de Desastres

**ESCENARIO DE RIESGO  
ANTE EL PRONÓSTICO DE  
LLUVIA EN LA SELVA – VIGÉSIMO CUARTO  
FRIAJE**

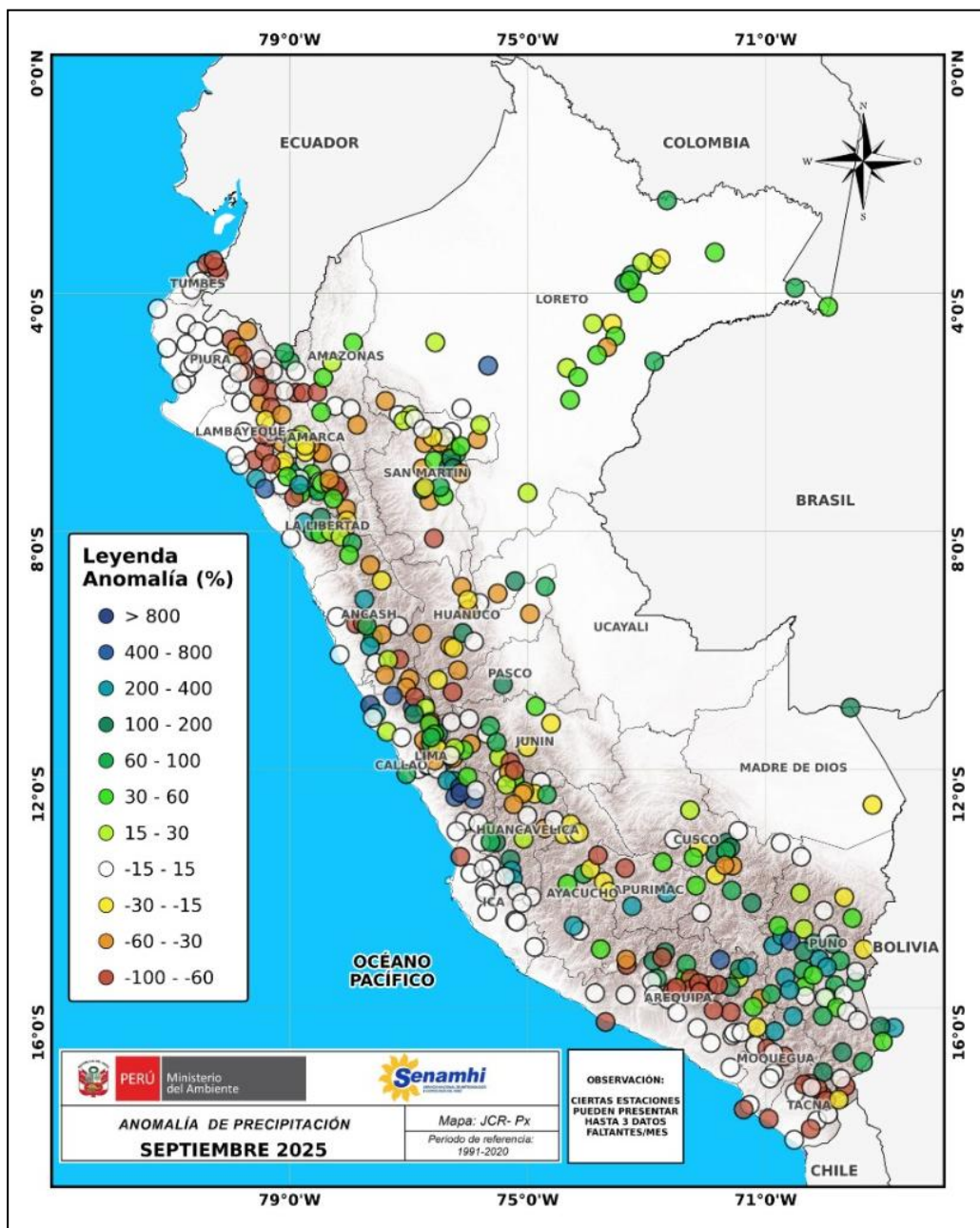
**DEL 18 AL 20 DE OCTUBRE DE 2025**



## I. COMPORTAMIENTO DE LAS PRECIPITACIONES A NIVEL NACIONAL

En septiembre 2025 se registraron superávits de precipitación superiores al 400% en zonas localizadas de La Libertad (Pacasmayo), Lima (Huaura y Yauyos), Arequipa (Caylloma), Puno (Melgar) y Loreto (Alto Amazonas); mientras que, en sectores de la costa norte (Tumbes y Piura), costa sur (Moquegua, Tacna y Arequipa), sierra norte (Piura y Cajamarca), sierra central (Ancash y Lima) y sierra sur (Arequipa, Moquegua y Tacna), se observaron anomalías negativas de entre -30% y -100%. En la selva regiones como San Martín, Amazonas, Huánuco y Apurímac también registraron déficit de lluvias notables.

Figura 01:. Frecuencia e Intensidad de lluvias de setiembre 2025.



Fuente: SENAMHI (Setiembre, 2025).

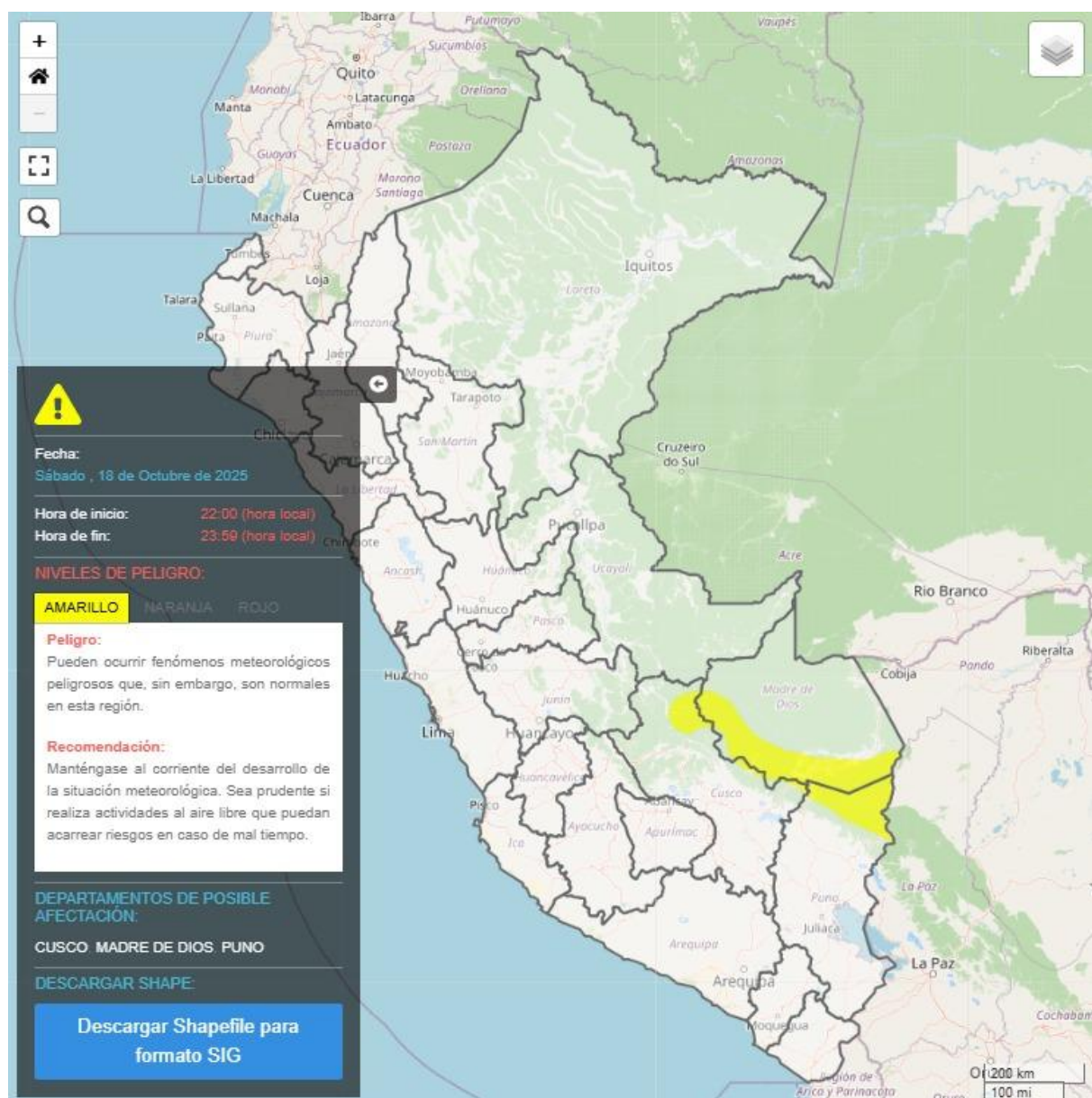


## II. PERSPECTIVAS

El SENAMHI informa que, desde el sábado 18 al lunes 20 de octubre se presentarán lluvias de ligero a fuerte intensidad relacionada al vigésimo cuarto friaje del año en la selva. Estos eventos de lluvia estarán acompañados de descargas eléctricas y ráfagas de viento con velocidades cercanas a los 45 km/h.

El sábado 18 de octubre, se prevén acumulados de lluvia alrededor de los 50 mm/día en la selva sur.

Figura 2. Pronóstico de lluvia en la selva del 18 de octubre del 2025



Fuente: SENAMHI Aviso Meteorológico N°365

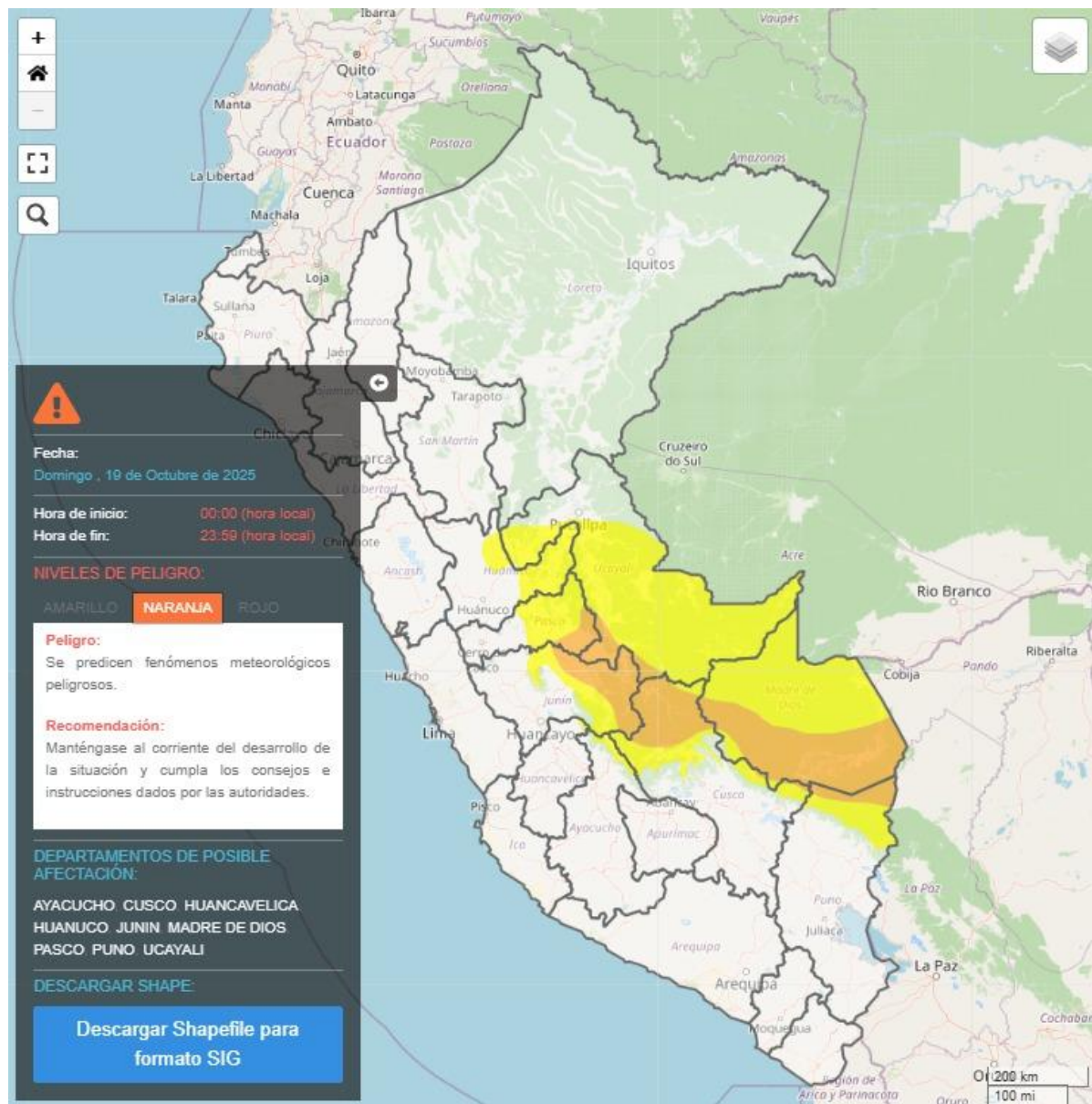




SEGÚN EL PRONÓSTICO DE LLUVIA EN LA SELVA – VIGÉSIMO CUARTO FRIAJE  
DEL 18 AL 20 DE OCTUBRE DE 2025

El domingo 19 de octubre, se prevén acumulados de lluvia de hasta 55 mm/día en la selva centro y valores próximos a 70 mm/día en la selva sur.

Figura 3. Pronóstico de lluvia en la selva del 19 de octubre del 2025



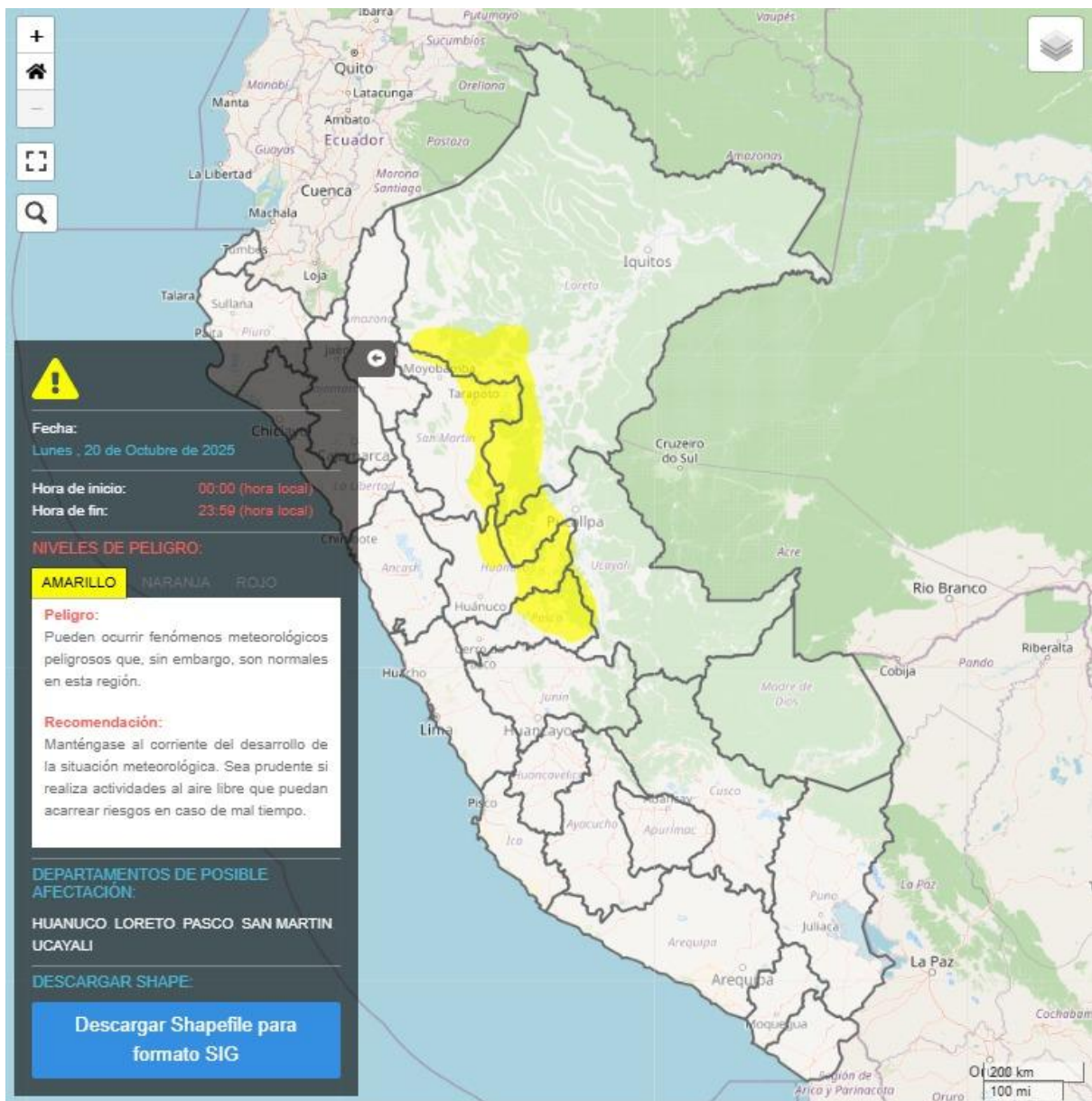
Fuente: SENAMHI Aviso Meteorológico N° 365



SEGÚN EL PRONÓSTICO DE LLUVIA EN LA SELVA – VIGÉSIMO CUARTO FRIAJE  
DEL 18 AL 20 DE OCTUBRE DE 2025

El lunes 20 de octubre, se prevén acumulados de lluvia alrededor de 60 mm/día en la selva norte y valores cercanos a 45 mm/día en la selva centro.

Figura 3. Pronóstico de lluvia en la selva del 20 de octubre del 2025



Fuente: SENAMHI Aviso Meteorológico N° 365

Para efectos de análisis se ha unido el ámbito de los diferentes días que implica el aviso, obteniendo un solo ámbito de exposición por los días de duración del aviso.



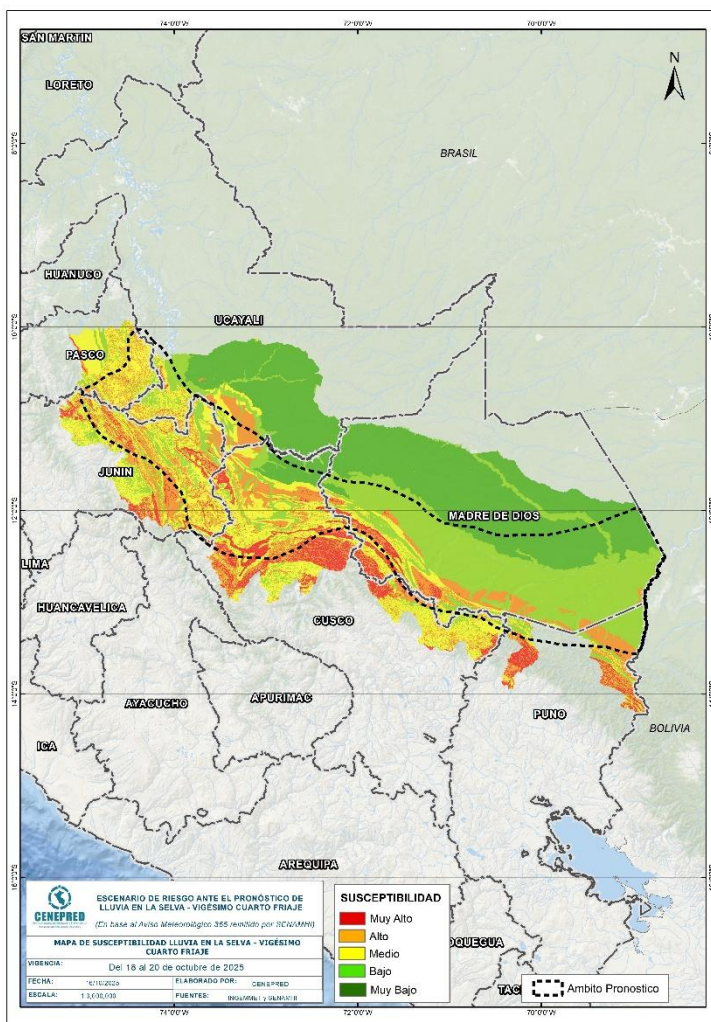
### III. ESCENARIO DE RIESGO POR MOVIMIENTOS EN MASA

## 1 ANÁLISIS DE SUSCEPTIBILIDAD POR MOVIMIENTOS EN MASA

La probabilidad de la ocurrencia de lluvias de fuerte intensidad durante estos días, desencadenarían la posible presencia de deslizamientos, flujos de detritos (huaycos) u otro tipo de movimientos en masa, que traería consigo situaciones de riesgo. No obstante, no se descarta la presencia de estas en las zonas donde se prevé condiciones normales o de déficit de lluvias.

Para la identificación de los ámbitos con mayor propensión a estos eventos se ha tomado como base el Mapa de Susceptibilidad a Movimientos en Masa<sup>1</sup> (INGEMMET).

Figura 4. Susceptibilidad a movimientos en masa en la selva



Fuente: CENEPRED, elaborado con información del INGEMMET y SENAMHI

<sup>1</sup> Cabe destacar que los mapas de susceptibilidad por movimientos en masa, si bien identifican áreas donde se pueden generar potencialmente tales eventos, en ellos no figura la totalidad de zonas a ser afectadas, ni predicen cuando ocurrirán los procesos analizados (Ayala-Carcendo y Olcinas 2002).



## 2 ANÁLISIS DE EXPOSICIÓN SOCIOECONÓMICA

En el análisis de exposición socioeconómica, se consideró como unidad mínima de análisis el ámbito distrital. Las variables utilizadas son incidencia de pobreza, tasa de analfabetismo y tasa de desnutrición crónica infantil.

El valor de exposición se obtuvo mediante el análisis con sistemas de información geográfica (SIG), con la finalidad de poder representarlo cartográficamente.

Se estimó el valor de importancia (ponderación) de cada uno de los parámetros mediante el Proceso de Análisis Jerárquico (método de Saaty). Posteriormente, se determinó para cada parámetro los respectivos descriptores, representados por sus quintiles, estimándose también para estos una ponderación mediante el mismo método.

Este procedimiento se muestra en la Tabla 1, dando como resultado el valor de exposición para cada distrito.

Tabla 1. Matriz de ponderación utilizada para la evaluación de los niveles de exposición.

Descriptor	Parámetros de evaluación										Rango	Nivel de exposición
	Incidencia de pobreza	Valor	Peso	Tasa de Desnutrición Crónica	Valor	Peso	Tasa de Analfabetismo	Valor	Peso	Valor de exposición		
D5	Mayor a 63.8%	0.459	0.608	34.2% a 61.7%	0.416	0.272	20.8% a 45.5%	0.432	0.120	0.444	0.262 < R <= 0.444	Muy Alto
D4	50.7% a 63.7%	0.259	0.608	26.0% a 34.1%	0.262	0.272	14.1% a 20.7%	0.283	0.120	0.262	0.153 < R <= 0.262	Alto
D3	36.3% a 50.6%	0.150	0.608	19% a 25.9%	0.161	0.272	9.6% a 14.0%	0.152	0.120	0.153	0.089 < R <= 0.153	Medio
D2	21.8% a 36.2%	0.085	0.608	9.1% a 18.9%	0.099	0.272	5.4% a 9.5%	0.086	0.120	0.089	0.051 < R <= 0.089	Bajo
D1	Menor a 21.8%	0.047	0.608	Menor a 9.1%	0.062	0.272	Menor a 5.4%	0.048	0.120	0.051		

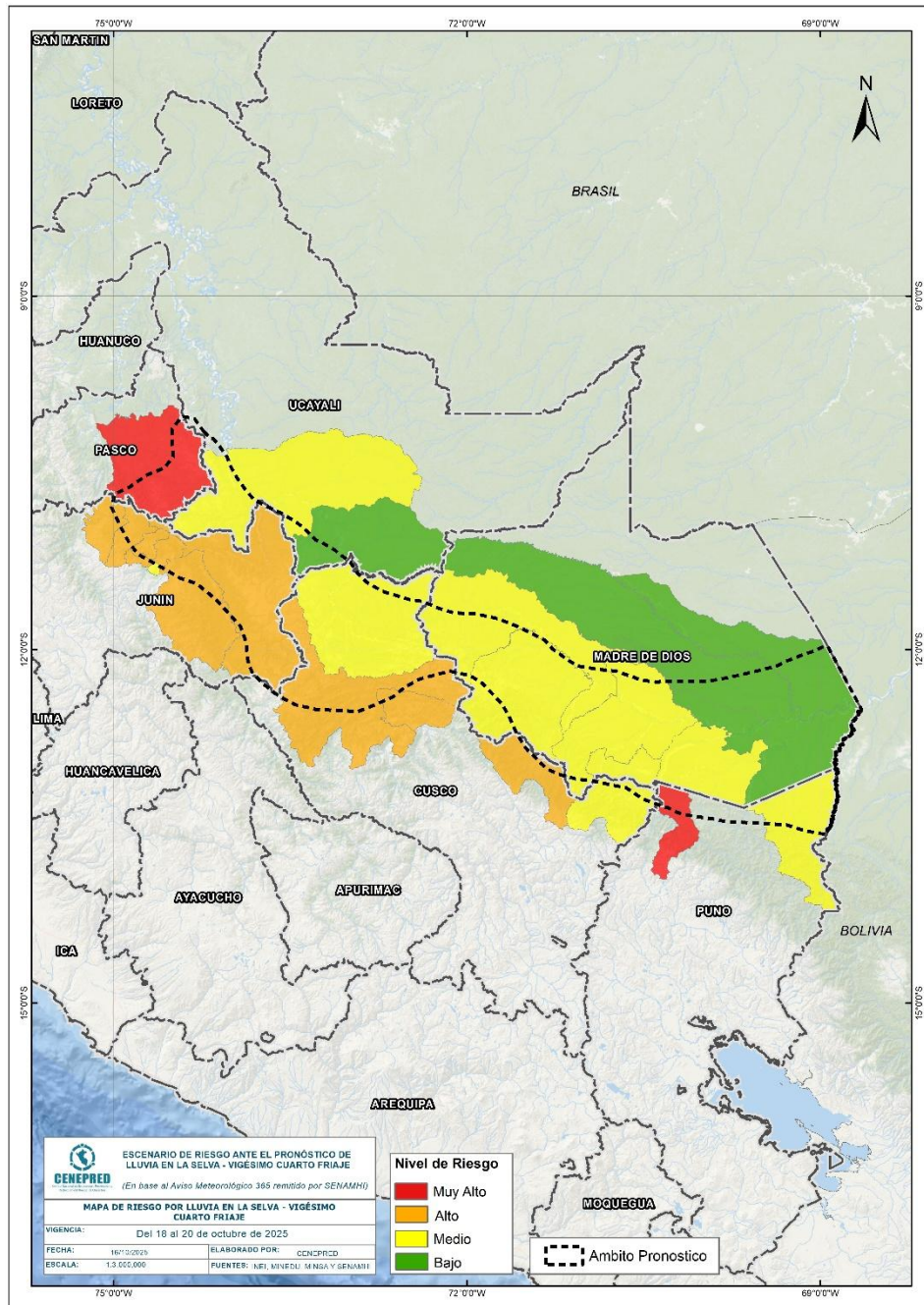
Fuente: CENEPRED, elaborado con información del INEI y el MINSA.



### 3. ESCENARIO PROBABLE DE RIESGO POR MOVIMIENTOS EN MASA

Una vez identificado los niveles de susceptibilidad a movimientos en masa y los niveles de exposición de la población, a nivel distrital, se procede a la conjunción de ambos factores para el cálculo de la probabilidad del riesgo (Tabla 2).

Figura 5. Escenario de riesgo por movimientos en masa según el pronóstico de lluvia en la selva



Fuente: CENEPRED



Finalmente, se presentan los resultados del escenario de riesgo por movimientos en masa en la Tabla 2.

Tabla 2. Elementos expuestos por departamentos según su nivel de riesgo.

Nivel de Riesgo		Muy Alto				Alto					
DEPARTAMENTOS		Elementos expuestos									
		Cantidad Distritos	Población	Viviendas	Establec. Salud	Instituc. Educativas	Cantidad Distritos	Población	Viviendas	Establec. Salud	Instituc. Educativas
1	<b>CUSCO</b>	0	0	0	0	0	3	40,928	13,182	40	226
2	<b>JUNIN</b>	0	0	0	0	0	6	239,930	61,920	164	1,444
3	<b>PASCO</b>	1	17,249	4,322	25	180	0	0	0	0	0
4	<b>PUNO</b>	1	9,299	3,708	7	39	0	0	0	0	0
5	<b>UCAYALI</b>	0	0	0	0	0	0	0	0	0	0
<b>TOTAL GENERAL</b>		<b>2</b>	<b>26,548</b>	<b>8,030</b>	<b>32</b>	<b>219</b>	<b>9</b>	<b>280,858</b>	<b>75,102</b>	<b>204</b>	<b>1,670</b>

Fuente: CENEPRED, elaborado con la información del INEI\*, MINSA\*\* y MINEDU\*\*\*

\*INEI: Cálculo de población y vivienda según Censos Nacionales 2017: XII de Población y VII de Vivienda

\*\*MINSA: Base RENIPRESS, octubre 2025

\*\*\*MINEDU: ESCALE, octubre 2025.



## IV. ESCENARIO DE RIESGO POR INUNDACIONES

### 1 ANÁLISIS DE SUSCEPTIBILIDAD POR INUNDACIONES

La probabilidad de la ocurrencia de lluvias de fuerte intensidad durante estos días, desencadenarían la posible presencia de inundaciones, que traería consigo situaciones de riesgo. No obstante, no se descarta la presencia de estas en las zonas donde se prevé condiciones normales o de déficit de lluvias.

Para la identificación de los ámbitos con mayor propensión a estos eventos se consolidó los mapas de susceptibilidad a inundaciones a nivel regional, elaborado por el INGEMMET, los cuales consideran como factores condicionantes: la geomorfología y la pendiente del terreno.

Los ámbitos de susceptibilidad muy alta y alta se caracterizan principalmente por presentar llanuras aluviales, planicies, altiplanos, terrazas aluviales, entre otros.

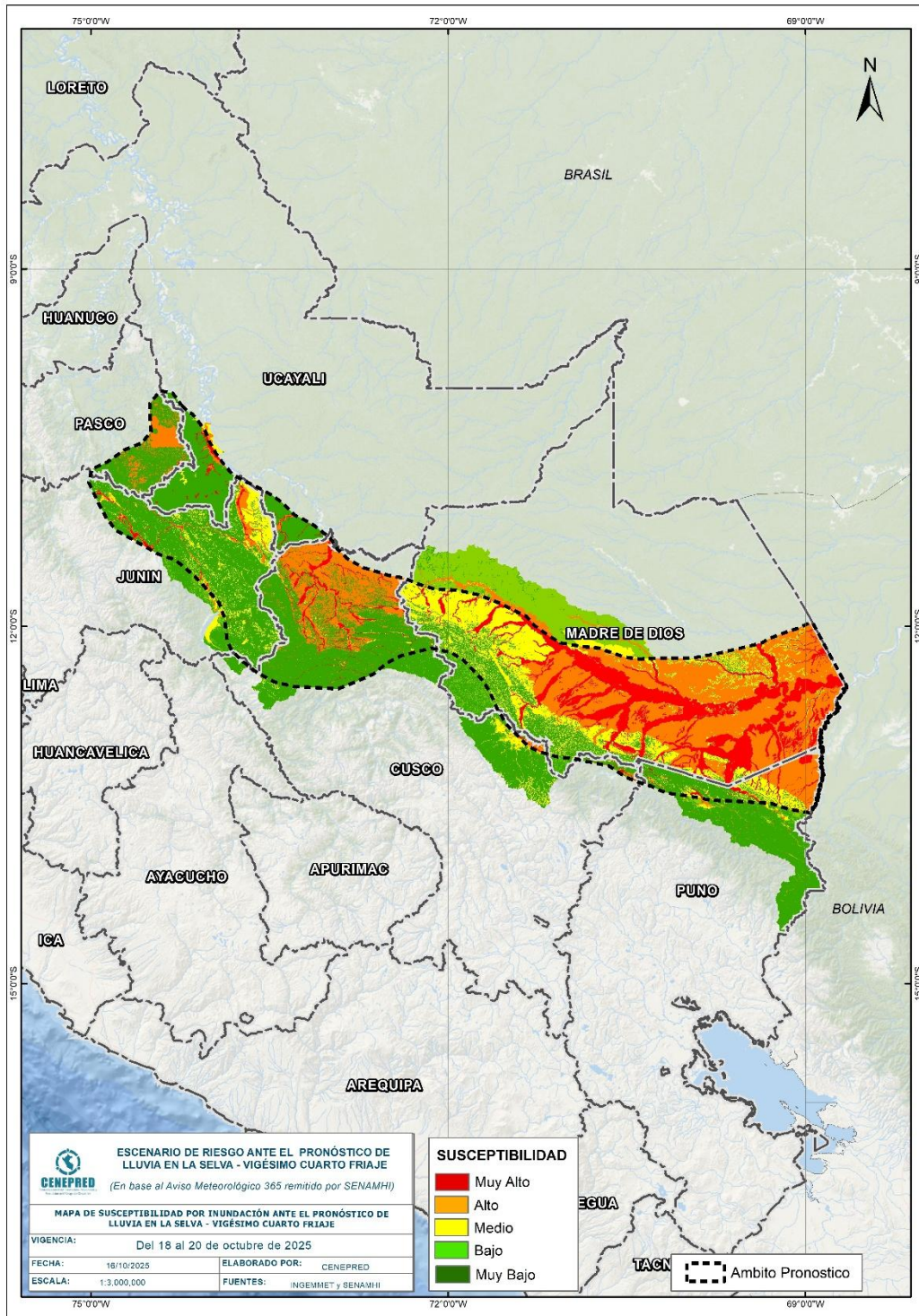
### 2 ESCENARIO PROBABLE DE RIESGO POR INUNDACIONES

Una vez identificado los niveles de susceptibilidad a inundación en el ámbito de las cuencas afectadas en la Figura 7 se procede a realizar el análisis de los niveles de exposición de la población, vivienda, establecimientos de salud e instituciones educativas a nivel de centros poblados.

De acuerdo al análisis de exposición y considerando el pronóstico se generó la Tabla 3, encontrándose que los departamentos con nivel de riesgo **Muy Alto** comprenden una población expuesta de 102.893 habitantes; 30.208 viviendas; 76 establecimientos de salud y 347 instituciones educativas.

Los departamentos con nivel de riesgo **Alto** comprenden una población expuesta de 154.940 habitantes; 52.630 viviendas; 162 establecimientos de salud y 473 instituciones educativas.

Figura 6. Escenario de riesgo por inundaciones en el ámbito del pronóstico de lluvia en la selva del 18 al 20 de octubre del 2025



Fuente: CENEPRED



Tabla 3. Elementos expuestos por departamentos según su nivel de riesgo por inundación.

Nivel de Riesgo		Muy Alto					Alto				
DEPARTAMENTOS		Elementos expuestos									
		Centros Poblados	Población	Viviendas	Establec. Salud	Instituc. Educativas	Centros Poblados	Población	Viviendas	Establec. Salud	Instituc. Educativas
1	<b>CUSCO</b>	33	9,096	2,246	15	55	22	2,284	779	7	34
2	<b>JUNIN</b>	86	67,371	18,098	25	174	94	61,176	19,564	32	221
3	<b>MADRE DE DIOS</b>	122	25,247	9,557	33	105	85	88,640	30,982	119	177
4	<b>PASCO</b>	1	62	21	0	0	1	214	41	1	7
5	<b>PUNO</b>	1	134	63	1	4	14	1,026	866	1	14
6	<b>UCAYALI</b>	9	983	223	2	9	14	1,600	406	2	20
<b>TOTAL GENERAL</b>		<b>252</b>	<b>102,893</b>	<b>30,208</b>	<b>76</b>	<b>347</b>	<b>230</b>	<b>154,940</b>	<b>52,638</b>	<b>162</b>	<b>473</b>

Fuente: CENEPRED, elaborado con la información del INEI\*, MINSA\*\* y MINEDU\*\*\*

\*INEI: Cálculo de población y vivienda según Censos Nacionales 2017: XII de Población y VII de Vivienda

\*\*MINSA: Base RENIPRESS, octubre 2025

\*\*\*MINEDU: ESCALE, octubre 2025

El CENEPRED actualizará esta información de acuerdo a los avisos meteorológicos remitidos por del SENAMHI. El resultado de esta información se encuentra disponible en el Sistema de Información para la Gestión del Riesgo de Desastres - SIGRID, y a través de la página web del CENEPRED <https://cenepred.gob.pe/web/escenario-riesgos/> para su descarga a fin de dar a conocer de manera detallada los parámetros utilizados.